

(758)  $2\frac{1}{4}\text{Cr}-1\text{Mo}$  鋼製リアクターの水素助長割れ進展性に及ぼす水素量の影響

(株) 日本製鋼所室蘭研究部

○野村 徹, 岩館 忠雄

大西 敬三

1. 緒言 近年各種プラントの老朽化に伴い、供用中の機器の保全が重要な問題となってきた。

特に石油精製用の圧力容器は高温高圧の水素環境下で使用されるため、使用中の焼戻脆化による破壊靱性値の低下とシャットダウン・スタートアップ時の水素助長割れによる、き裂の進展が懸念される。

前報<sup>1)</sup>では、水素脆化感受性に及ぼす強度レベルの影響について報告したが、本報では、水素脆化感受性におよぼす水素量の影響について検討し、併せて圧力容器のシャットダウン直後の水素濃度分布と残留応力の分布状況を検討し、安全性を考察した。

2. 水素脆化感受性 ( $K_{IH}$ )に及ぼす水素量の影響

前報まで1)2)に示した  $2\frac{1}{4}\text{Cr}-1\text{Mo}$  鋼に、水素量が 2 ppm ~ 7 ppm となる様に水素添加を行い、ライジングロード法により  $K_{IH}$  を求めた。Fig. 1 に試験結果を示す。水素量が、約 2 ppm の場合には、 $K_{IH}$  は約  $200 \text{ kg-mm}^{-3/2}$  であるのに対し水素量の増加に伴って、4 ppm では、 $120 \text{ kg-mm}^{-3/2}$ , 5.5 ppm では、 $100 \text{ kg-mm}^{-3/2}$  に低下し、さらに約 7 ppm では、 $K_{IH}$  は  $70 \text{ kg-mm}^{-3/2}$  まで低下することが明らかとなった。

## 3. 圧力容器壁における水素濃度分布と残留応力

Fig. 2 に、肉厚 200 mm, 運転温度 450 °C, 水素圧 150 kg/cm<sup>2</sup> のモデルベッセルの運転中、シャットダウン後の容器壁の水素濃度分布を示す。シャットダウン直後には、オーバレイ直下の母材中には、約 2.6 ppm の水素が残留していることが計算される。Fig. 3 には Sachs 法によって求めた残留応力から計算した、母材中に進展した、き裂先端の応力拡大係数を、残留応力のみと、内圧 230 kg/cm<sup>2</sup> の時について示す。オーバレイ直下では、残留応力のみで、 $K_I = 148 \text{ kg-mm}^{-3/2}$  程度の  $K$  値を示している。

## 4. 水素助長割れの進展性

残留応力と内圧から求めたオーバレイ直下に存在すると仮定した、き裂先端の応力拡大係数  $K_I$  とシャットダウン時に残留する水素濃度から、残留応力のみでは、水素助長割れの進展の可能性は少ないことが推定される。しかし低温加圧を行った場合、 $K_I$  値が  $K_{IH}$  を上回ることが予想される。さらに焼戻脆化の進行した材料では、 $K_{IH}$  値が低くなる<sup>3)</sup>ことが示されており、その様な場合には、残留応力のみでも水素助長割れの進展が懸念される。

## 参考文献

- 1) 野村, 室, 大西, 村上: 鉄と鋼 Vol. 70 No.13 (1984) S-1486
- 2) 野村, 石川, 岩館, 大西: 鉄と鋼 Vol. 71 No.13 (1985) S-1303
- 3) Murakami, Nomura, Watanabe, ASTM STP755, 1982 PP383-414.

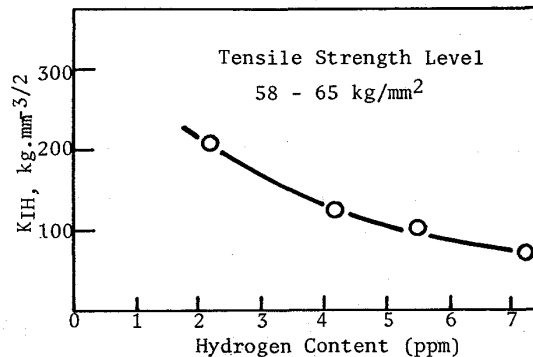
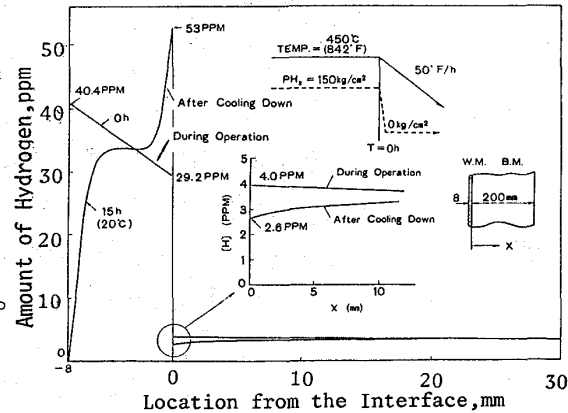
Fig. 1 Effect of Hydrogen on  $K_{IH}$ 

Fig. 2 Hydrogen Distribution during Operation and after Cooling Down to Ambient Temperature.

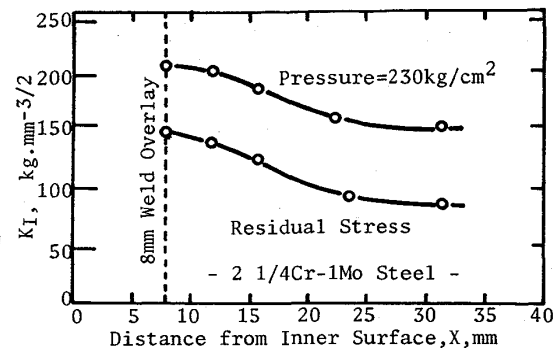


Fig. 3 Stress Intensity Factors due to the Residual Stress and Internal Pressure